

LATITUDE Link™  
IDCO SPECIFICATIE

**LATITUDE Link™ -systeem**

Outdated version. Do not use.  
Version überholt. Nicht verwenden.  
Version obsolète. Ne pas utiliser.  
Versión obsoleta. No utilizar.  
Versione obsoleta. Non utilizzare.  
Verouderde versie. Niet gebruiken.  
Föråldrad version. Använd ej.  
Παλιά έκδοση. Μην την χρησιμοποιείτε.  
Versão obsoleta. Não utilize.  
Forældet version. Må ikke anvendes.  
Zastaralá verze. Nepoužívat.  
Utdatert versjon. Skal ikke brukes.  
Zastaraná verzia. Nepoužívať.  
Elavult verzió. Ne használja!  
Wersja nieaktualna. Nie używać.

Outdated version. Do not use.  
Version überholt. Nicht verwenden.  
Version obsolète. Ne pas utiliser.  
Versión obsoleta. No utilizar.  
Versione obsoleta. Non utilizzare.  
Verouderde versie. Niet gebruiken.  
Föråldrad version. Använd ej.  
Παλιά έκδοση. Μην την χρησιμοποιείτε.  
Versão obsoleta. Não utilize.  
Forældet version. Må ikke anvendes.  
Zastaralá verze. Nepoužívat.  
Utdatert versjon. Skal ikke brukes.  
Zastaraná verzia. Nepoužívať.  
Elavult verzió. Ne használja!  
Wersja nieaktualna. Nie używać.

# INHOUDSTABEL

<b>Overzicht</b> .....	<b>1</b>
<b>IDCO-berichtenspecificatie</b> .....	<b>1</b>
Segmentstructuur .....	1
MSH-segmentstructuur .....	2
PID-segmentstructuur .....	2
PV1-segmentstructuur .....	2
OBR-segmentstructuur .....	2
OBX-segmentstructuur .....	3
NTE-segmentstructuur .....	3
Apparaatrapport .....	3
Basistermen .....	4
<b>Gegevens van geïmplanteerde apparaten converteren naar IDCO-berichten</b> .....	<b>8</b>
Batterijstatus .....	8
Type bradysensor .....	8
Episodemapping .....	8
Episodetellermapping .....	9
Leadconfiguratiemapping .....	10
Systeembeperkingen .....	11
Apparaatstatusinformatie .....	11
Rapporten .....	11
<b>Voorbeeld van IDCO-bestanden</b> .....	<b>12</b>

Outdated version. Do not use.  
Version überholt. Nicht verwenden.  
Version obsolète. Ne pas utiliser.  
Versión obsoleta. No utilizar.  
Versione obsoleta. Non utilizzare.  
Verouderde versie. Niet gebruiken.  
Föråldrad version. Använd ej.  
Παλιά έκδοση. Μην την χρησιμοποιείτε.  
Versão obsoleta. Não utilize.  
Forældet version. Må ikke anvendes.  
Zastaralá verze. Nepoužívat.  
Utdatert versjon. Skal ikke brukes.  
Zastaraná verzia. Nepoužívať.  
Elavult verzió. Ne használja!  
Wersja nieaktualna. Nie używać.

## Overzicht

Het LATITUDE Link™-systeem van Boston Scientific genereert IDCO-berichten (Implantable Device Cardiac Observation) op basis van de specificaties en definities uit dit document. Deze berichten voldoen aan het profiel voor Integrating the Healthcare Enterprise (IHE) Patient Care Device (PCD) Technical Framework IDCO en worden gebruikt om patiëntgegevens over te brengen naar EMR-systemen (Electronic Medical Record).

Dit document is bedoeld voor klanten van Boston Scientific (BSC) die (1) IDCO-berichten integreren in een EMR-systeem en (2) gebruikmaken van een EMR om patiëntgegevens te volgen en te beheren. De eerste paragraaf van dit document („IDCO-berichtsificatie”) is hoofdzakelijk bedoeld voor technisch personeel dat zich bezighoudt met berichtintegratie. Het tweede deel is voornamelijk bedoeld voor de arts als extra informatie bij de Boston Scientific-versie van de gegevens in het bericht.

**OPMERKING:** *Er wordt aangenomen dat de lezers van deze paragraaf bekend zijn met terminologie, specificatiesyntax, gegevenstypen, berichtstructuren en semantiek voor IDCO-berichten met de HL7- en IDCO-standaard. Meer informatie vindt u via de volgende links:*

- [www.hl7.org](http://www.hl7.org) voor HL7-berichtgeving
- [www.ihe.net](http://www.ihe.net) voor IDCO-berichtgeving
- [http://ihe.net/Technical\\_Framework/index.cfm#pcd](http://ihe.net/Technical_Framework/index.cfm#pcd) for PCD-09 Technical Framework (bestaat uit vol. 1, 2 en 3)
- <http://standards.ieee.org/findstds/standard/11073-10103-2012.html> voor IEEE IDCO-nomenclatuur

## IDCO-berichtsificatie

Het IDCO-bericht is een PCD-09-bericht op basis van IHE PCD Technical Framework Revision 3.0, October 11, 2013. Conform het technische kader is het bericht een standaard ongevraagd HL7 v2.6-bericht voor orders en observaties met observaties die zijn uitgevoerd door het geïmplanteerde apparaat en die zijn gecodeerd met behulp van de ISO/IEEE 11073-10103:2014 IDC-nomenclatuur. In deze internationale standaard wordt een universeel model beschreven voor de interoperabiliteit van medische elektronische gegevens.

Waarden tussen aanhalingstekens in de waardekolommen in onderstaande tabellen geven aan dat het om harde codering gaat die altijd op deze manier wordt weergegeven. Bij waarden zonder aanhalingstekens gaat het om een voorbeeld of een beschrijving van de waarde.

## Segmentstructuur

Alle gegevens worden verzonden per PCD-09. De informatie in deze paragraaf is bedoeld om de BSC-output voor IDCO-berichten te definiëren. De informatie is niet volledig en is niet bedoeld om de IDCO-nomenclatuur verder te definiëren.

## MSH-segmentstructuur

Het MSH-segment bevat informatie over de verzender en ontvanger van het bericht, het type bericht, een tijdstempel, enzovoort. Het is het eerste segment in elk IDCO-bericht.

ELEMENTNAAM	VOLGORDE	SUB-VOLGORDE	WAARDE
Verzendtoepassing	3		„LATITUDE Link”
Verzenderinstelling	4		„BOSTON SCIENTIFIC”
Ontvangende instelling	6		Naam van kliniek
Tekenset	18		„UNICODE UTF-8”

## PID-segmentstructuur

Het PID-segment bevat patiëntcodegegevens zoals naam, id-codes, postcode, enzovoort. Deze informatie wordt gebruikt voor patiëntkoppeling.

ELEMENTNAAM	VOLGORDE	SUB-VOLGORDE	WAARDE
Namengebied-id	3	4	„BSX”

## PV1-segmentstructuur

Het segment PV1 (patiëntenbezoek) bevat informatie over de behandelend arts van de patiënt.

ELEMENTNAAM	VOLGORDE	SUB-VOLGORDE	WAARDE
Patiëntklasse	2		„R”

## OBR-segmentstructuur

OBR-segmenten zijn de sectiekoppen voor afzonderlijke OBX-segmenten voor opgevraagde informatie. Deze bevatten gegevens als tijdstempels, een rapportcode en een unieke door het systeem gegenereerde code.

ELEMENTNAAM	VOLGORDE	SUB-VOLGORDE	VOORBEELDWAARDE
Universele servicecode	4		
Code		1	754050
Tekst		2	Zie opmerking 1
Nummer observatiedatum/-tijd	7		20060429080005 Zie opmerking 2
Resultaatstatus	25		„F” Zie opmerking 3

## OBX-opmerkingen

1. De tekst voor de universele servicecode heeft de vorm MDC\_IDC\_ENUM\_SESS\_TYPE\_{sessietype} (bijv. MDC\_IDC\_ENUM\_SESS\_TYPE\_InClinic).
2. Observatiedatum/-tijd is de tijdstempel voor het moment waarop het geïmplanteerde apparaat is opgevraagd. De tijdstempel van een opvraging in het ziekenhuis komt tot stand via de tijd die door de PRM wordt verschaft.
3. Resultaatstatus is „F” (eindresultaten)

## OBX-segmentstructuur

OBX-segmenten bevatten gegevens die zijn verzameld gedurende de recentste apparaatopvraging.

ELEMENTNAAM	VOLGORDE	SUB-VOLGORDE	VOORBEELDWAARDE
Resultaatstatus observatie	11		„F” Zie opmerking 1
Datum/tijd van de observatie	14		20060317 Zie opmerking 2

## OBX-opmerkingen

1. Resultaatstatus is „F” (eindresultaten).
2. De datum van de meting wordt vermeld als de datum van de meting afwijkt van de observatiedatum in de OBR.

## Outputparameters

- Tekenreeksen worden verzonden in de geconfigureerde taal.
- Numerieke waarden worden altijd verzonden met de punt „.” als radixpunt (d.w.z. decimaalpunt).

## NTE-segmentstructuur

- S-ICD-apparaten
  - De eerste NTE bevat informatie over de instellingen in het *label: waarde-indeling* waarbij de instellingen worden gescheiden via een regeleinde (\.br\). Voorbeeld:  
NTE|1||Detectie-configuratie: Primary\.br\Gain-instelling: 2X\.br\  
Post-shock stimulatie: AAN
  - Als er apparaatstatusinformatie aanwezig is, zal de volledige apparaatstatus in de tweede NTE worden getoond. Voorbeeld:  
NTE|2||Apparaat moet direct worden nagekeken.\.br\.\.br\Bel Boston Scientific  
- BD.\.br\.\.br\Amerikaans continent: 1.800.CARDIAC (227.3422) of  
+1.651.582.4000\.br\Europa, Midden-Oosten, Afrika: +32 2 416 7222\.br\Azië-  
Oceanië: +61 2 8063 8299
- Alle overige apparaten
  - Als er apparaatstatusinformatie aanwezig is, zal er één NTE per apparaatstatus worden getoond.

## Apparaatrapport

- Mogelijk wordt er één PDF met één of meerdere apparaatrapporten in één enkele OBX aan het bericht toegevoegd.

## Basistermen

De volgende tabel bevat nomenclatuurtermen die kunnen voorkomen in een BSC IDCO-bericht.

<b>PREPEND MDC_IDC_DEV</b>	<b>Implanteerbaar cardiaal apparaat</b>
_TYPE	Type
_MODEL	Model
_SERIAL	Serienummer
_MFG	Fabrikant
_IMPLANT_DT	Implant.dat.
<b>PREPEND MDC_IDC_LEAD</b>	<b>Attributen van implanteerbare lead</b>
_MODEL	Model
_SERIAL	Serienummer
_MFG	Fabrikant
_IMPLANT_DT	Implant.dat.
_POLARITY_TYPE	Type polariteit
_LOCATION	Locatie
_LOCATION_DETAIL_1	Locatie detail 1
<b>PREPEND MDC_IDC_SESS</b>	<b>Opvraagessie</b>
_DTM	Datum/tijd van opvraagessie
_TYPE	Type opvraagessie
_CLINIC_NAME	Naam van kliniek
_CLINICIAN_CONTACT_INFORMATION	Contactinformatie van de arts
<b>PREPEND MDC_IDC_MSMT</b>	<b>Metingen</b>
<b>_BATTERY</b>	<b>Batterijmetingen</b>
_DTM	Datum/tijd van metingen
_BATTERY_STATUS	Status
_BATTERY_REMAINING_LONGEVITY	Resterende levensduur
_BATTERY_REMAINING_PERCENTAGE	Resterend percentage
<b>_CAP</b>	<b>Metingen</b>
_CHARGE_DTM	Datum/tijd van laatste keer opladen
_CHARGE_TIME	Laadtijd
_CHARGE_TYPE	Laadtype
_CHARGE_ENERGY	Laadvermogen
<b>_LEADCHNL_[CHAMBER]</b>	<b>Leadkanaalmetingen</b>
_DTM_[STRTEND]	Datum en tijd van metingen
_LEAD_CHANNEL_STATUS	Status



<b>PREPEND MDC_IDC_MSMT</b>	<b>Metingen</b>
<b>_LEADCHNL_[CHAMBER]_SENSING</b>	<b>Detectiemetingen van leadkanaal</b>
_INTR_AMPL_[MMM]	Detectie intrinsieke amplitude
_POLARITY	Detectie polariteit
<b>_LEADCHNL_[CHAMBER]_PACING_THRESHOLD</b>	<b>Metingen van stimulatie drempel van leadkanaal</b>
_AMPLITUDE	Amplitude
_PULSEWIDTH	Pulsduur
_MEASUREMENT_METHOD	Meetmethode
_POLARITY	Polariteit
<b>_LEADCHNL_[CHAMBER]_IMPEDANCE</b>	<b>Impedantiemetingen van leadkanaal</b>
_VALUE	Waarde
_POLARITY	Polariteit
<b>_LEADHVCHNL</b>	<b>Leadkanaalmetingen hoog voltage</b>
_DTM_[STRT]	Datum/tijd
_IMPEDANCE	Impedantie
_MEASUREMENT_TYPE	Type meting
_STATUS	Status
<b>PREPEND MDC_IDC_SET</b>	<b>Instellingen</b>
<b>_CRT</b>	<b>CRT-instellingen</b>
_LVRV_DELAY	LV-RV-interval
_PACED_CHAMBERS	Ventriculaire kamers gestimuleerd tijdens CRT-stimulatie
<b>_LEADCHNL_[CHAMBER]_SENSING</b>	<b>Leadkanaalinstellingen</b>
_SENSITIVITY	Gevoeligheid
_POLARITY	Polariteit
_ANODE_LOCATION_[1..3]	Locatie anode
_ANODE_ELECTRODE_[1..3]	Anodeconnector
_CATHODE_LOCATION_[1..3]	Locatie kathode
_CATHODE_ELECTRODE_[1..3]	Kathodeconnector
_ADAPTATION_MODE	Adaptatiemodus
<b>_LEADCHNL_[CHAMBER]_PACING</b>	<b>Stimulatie van leadkanaalinstellingen</b>
_AMPLITUDE	Amplitude
_PULSEWIDTH	Pulsduur
_PACING_POLARITY	Polariteit
_ANODE_LOCATION_[1..3]	Locatie anode
_ANODE_ELECTRODE_[1..3]	Anodeconnector

<b>_LEADCHNL_[CHAMBER]_PACING</b>	<b>Stimulatie van leadkanaalinstellingen</b>
_CATHODE_LOCATION_[1..3]	Locatie kathode
_CATHODE_ELECTRODE_[1..3]	Kathodeconnector
_CAPTURE_MODE	Capturemodus
<b>_BRADY</b>	<b>Bradyinstellingen</b>
_MODE	Modus (NBG-code)
_LOWRATE	Basisfrequentie
_SENSOR_TYPE	Type sensor
_MAX_TRACKING_RATE	Maximale trackingfreq.
_MAX_SENSOR_RATE	Maximale sensorfrequentie
_SAV_DELAY_[HIGHLOW]	SAV-interval
_PAV_DELAY_[HIGHLOW]	PAV-interval
_AT_MODE_SWITCH_MODE	AT mode switch modus
_AT_MODE_SWITCH_RATE	Frequentie AT mode switch
<b>_TACHYTHERAPY</b>	<b>Instellingen tachytherapie</b>
_VSTAT	Status ventrikel
<b>_ZONE</b>	<b>Zone-instellingen</b>
_TYPE	Type categorie
_VENDOR_TYPE	Categorie leverancierstype
_STATUS	Status
_DETECTION_INTERVAL	Detectie-interval
_DETECTION_DETAILS	Detectiedetails
_TYPE_ATP_[1..10]	ATP-type
_NUM_ATP_SEQS_[1..10]	Aantal ATP-reeksen
_SHOCK_ENERGY_[1..10]	Shockenergie
_NUM_SHOCKS_[1..10]	Aantal shocks
<b>PREPEND MDC_IDC_STAT</b>	<b>Statistieken</b>
_DTM_[STRTEnd]	Datum/tijd statistieken
<b>_AT</b>	<b>Atriale tachystatistiek</b>
_DTM_[STRTEnd]	Datum/tijd
_BURDEN_PERCENT	Percentage AT/AF-belasting
<b>_BRADY</b>	<b>Bradystatistieken</b>
_DTM_[STRTEnd]	Datum/tijd
_RA_PERCENT_PACED	RA percentage gestim.
_BRADY_RV_PERCENT_PACED	RV percentage gestim.

<b>_CRT</b>	<b>CRT-statistieken</b>
_DTM_[STRTEEND]	Datum/tijd
_LV_PERCENT_PACED	LV percentage gestim.
<b>PREPEND MDC_IDC_STAT</b>	<b>Statistieken</b>
<b>_TACHYTHERAPY</b>	<b>Tachytherapiestatistieken</b>
_SHOCKS_DELIVERED_RECENT	Recent afgegeven shocks
_RECENT_DTM_[STRTEEND]	Recente datum/tijd
_SHOCKS_DELIVERED_TOTAL	Totaal afgegeven shocks
_TOTAL_DTM_[STRTEEND]	Totaal datum/tijd
_SHOCKS_ABORTED_RECENT	Recent afgebroken shocks
_SHOCKS_ABORTED_TOTAL	Totaal afgebroken shocks
_ATP_DELIVERED_RECENT	Recent afgegeven ATP
_ATP_DELIVERED_TOTAL	Totaal afgegeven ATP
<b>_EPISODE</b>	<b>Episodestatistieken</b>
_TYPE	Type categorie
_TYPE_INDUCED	Type geïnduceerd
_VENDOR_TYPE	Categorie leverancierstype
_RECENT_COUNT	Recente telling
_RECENT_COUNT_DTM_[STRTEEND]	Recente datum/tijd
_TOTAL_COUNT	Totale telling
_TOTAL_COUNT_DTM_[STRTEEND]	Totaal datum/tijd
<b>PREPEND MDC_IDC_EPISODE</b>	<b>Episode</b>
_ID	Code
_DTM	Datum/tijd
_TYPE	Type categorie
_TYPE_INDUCED	Vlag geïnduceerde vlag
_VENDOR_TYPE	Categorie leverancierstype
_ATRIAL_INTERVAL_AT_DETECTION	Detectie-interval atriaal
_VENTRICULAR_INTERVAL_AT_DETECTION	Detectie-interval ventriculair
_DETECTION_THERAPY_DETAILS	Detectie- en therapiedetails
_DURATION	Duur

# Gegevens van geïmplanteerde apparaten converteren naar IDCO-berichten

## Batterijstatus

Deze batterijparameters zijn als volgt aan een BSC-batterijstatus gekoppeld:

BSC-BATTERIJSTATUS (S-ICD-apparaten)	BSC-BATTERIJSTATUS (alle overige apparaten)	IDCO-BATTERIJSTATUS
>10% resterend tot ERI	BOL	BOS
<= 10% resterend tot ERI	OY	MOS
ERI	ERI	RRT
EOL	EOL	EOS

## Type bradysensor

Het type bradysensor wordt verzonden zoals weergegeven in onderstaande tabel.

VERZONDEN WAARDE VOOR SET_BRADY_SENSOR_TYPE OP BASIS VAN INSTELLING VOOR VARIABELE GEÏMPLANTEERD APPARAAT	INSTELLING GEÏMPLANTEERD APPARAAT
„Accelerometer”	Alleen accelerometer
„Minuut Volume”	Alleen MV
„Accelerometer + MV”	Accelerometer en MV

Bovenstaande waarden worden alleen verzonden als de frequentie kan worden bestuurd door de sensor (en kunnen dus niet worden verzonden als de sensor zich in de monitorstatus bevindt).

Bovenstaande waarden worden verzonden als de frequentie kan worden bestuurd in de normale bradymodus of in ATR (d.w.z. de waarde komt niet alleen overeen met de normale brachymodus).

Let op: „ATR excl” kan worden weergegeven in rapporten als de ATR-modus een frequentieadapterende modus is, en als de normale bradymodus niet frequentieadapterend is. In dat geval wordt de tekst (bijv. „Accelerometer”) nog steeds verzonden voor de ATR-modus. De gebruiker kan de brachymodus en ATR-modus bekijken en bepalen of de frequentierespons exclusief voor ATR is.

## Episodemapping

Episodes, tellers, enzovoort worden verzonden op basis van de informatie in de opvraging. Dezelfde informatie wordt eerst verzonden en vervolgens opnieuw verstuurd, ook als er opvragingen tussen liggen. Episodes worden weergegeven in een combinatie van normatieve en leveranciersspecifieke typen. Sommige Boston Scientific-episodetypen kunnen niet uniek worden weergegeven in de huidige IDCO-nomenclatuur.

BSC-EPISEDE-ID	BSC-EPISEDETYPE	NORMATIEF IDCO-EPISEDETYPE	LEVERANCIERSPECIFIEK IDCO-EPISEDETYPE
<episodenummer>	Behandeld	VF	BSX-Zone_VF
<episodenummer>	Niet-behandeld	Overig	Zie <b>opmerking 1</b>

**Opmerking 1:** het leveranciersspecifieke episodetype OBX wordt getoond in het bericht met een lege waarde voor observatie.

## Episodetellermapping

Episodetellers worden weergegeven in een combinatie van normatieve en leverancierspecifieke typen. Sommige Boston Scientific-tellers kunnen niet uniek worden weergegeven in de huidige IDCO-nomenclatuur. De tellerwaarden die worden verzonden bestaan uit de waarden sinds de vorige controle en sinds de implantatie.

BSC-EPISODETELLER	STATISTISCH NORMATIEF IDCO-EPISODETYPE	STATISTISCH LEVERANCIERSPECIFIEK IDCO-EPISODETYPE
Behandeld	VF	BSX-Epis_VF
Niet-behandeld	Overig	Zie <b>opmerking 1</b>
VT (V>A)	VT	BSX-Epis_VT
Tachy	VT	BSX-Epis_VT
NietAanh.	VT	BSX-Epis_NSVT
NietAanhV	VT	BSX-Epis_NSVT
SVT (V≤A)	SVT	BSX-Epis_SVT
ATR	AT/AF	BSX-Epis_ATR
MRI	Overig	Geen
VF	VF	BSX-Epis_VF
VT	VT	BSX-Epis_VT
VT-1	VT	BSX-Epis_VT-1
Geen therapie geprogrammeerd	Monitor	Geen
Overige niet-behandelde	Overig	Geen

**Opmerking 1:** de leverancierspecifieke tellerstat OBX wordt getoond in het bericht met een lege waarde voor observatie.

## Leadconfiguratiemapping

In onderstaande tabel wordt aangegeven hoe leads met meerdere elektroden in IDCO en BSC zijn gedefinieerd. Deze tabel is niet bedoeld als volledige lijst, en bevat alleen gegevens die mogelijk niet duidelijk zijn.

De definities die in BSC worden gebruikt, zijn consistent met de Programmer/Recorder/Monitor (PRM) en de LATITUDE-website.

BSC-ELEKTRODENAAM	IDCO-ELEKTRODELOCATIE	IDCO-ELEKTRODENAAM
Can	Overig	Can
LVTip1	LV	Tip
LVRing2	LV	Ring1
LVRing3	LV	Ring2
LVRing4	LV	Ring3

MDC\_IDCO\_ENUM\_ELECTRODE\_LOCATION (locatie stimulatie/detectie anode/kathode) bevat momenteel geen lijst voor de pocket (d.w.z. can). Locatie wordt verzonden als „overig” en elektrode als „can”.

De status „Controle Lead” geeft aan dat er mogelijk een probleem is met de lead; als de status „Controle Lead” echter niet wordt weergegeven, wil dat niet zeggen dat er geen probleem is. Er wordt een status „Controle Lead” verzonden bij een van de volgende statusindicatoren:

- S-ICD-apparaten
  - Hoge elektrode-impedantie
- Alle overige apparaten
  - Veiligheidsschakelaar lead
  - Impedantie buiten bereik
  - Amplitude buiten bereik
  - Lage shockimpedantie
  - Hoge shockimpedantie
  - Hoog voltage tijdens laden
  - Automatische drempel wordt uitgesteld of drempel is groter dan geprogrammeerd

Voor MSMT\_LEADCHNL\_[CHAMBER] (d.w.z. leadkanaalmetingen zoals intrinsieke amplitude, leadimpedantie, stimulatiedrempel) is slechts één tijdstempelbereik mogelijk voor alle metingen (dus niet één bereik per meting) in de huidige IDCO-nomenclatuur. Als de meettijden verschillend zijn wordt er een tijdstempelbereik (d.w.z. MIN, MAX) verzonden dat de tijden van alle metingen bevat. Verder zijn de waarden die worden verzonden een IDCO MEAN-waarde op basis van de IDCO-nomenclatuur. De waarden zijn echter enkele metingen en zijn geen gemiddelde waarden over het tijdstempelbereik.

## Systembeperkingen

- De IDCO-nomenclatuur biedt geen verklaring voor alle gegevens die in het implantaat aanwezig zijn. Sommige gegevens die niet zijn gedefinieerd, worden mogelijk verzonden in de meest gelijkende weergave die in IDCO beschikbaar is. Bijvoorbeeld:
  - VT-zone-informatie voor bradyapparaten wordt verzonden alsof deze een VT-zone zouden hebben.
  - Voor S-ICD-apparaten wordt een schokzone verzonden als VF-zone en een conditionele schokzone als VT-zone.
  - De leadmetingen in het bericht zijn metingen die op basis van de volgende prioriteit worden toegevoegd:
    1. Meting in de praktijk
    2. Meest recente dagelijkse meting
    3. POST-meting
- Een goede rapportering van de geïmplanteerde apparaatgegevens en apparaatstatus is afhankelijk van de al dan niet correcte programmering van de klok van het geïmplanteerde apparaat met een Programmer. Een goede rapportering kan ook een tijd nadat de klok van het geïmplanteerde apparaat correct geprogrammeerd werd beïnvloed worden, afhankelijk van de hoeveelheid gegevens met onnauwkeurige tijdsinformatie en het tijdsverschil van de klok van het geïmplanteerde apparaat.
- Tekenreeksen worden verzonden in de taal die is geconfigureerd voor de kliniek.

## Apparaatstatusinformatie

Apparaatstatusinformatie uit de PG wordt als opmerkingen bij het bericht gevoegd. Deze opmerkingen worden al dan niet in een EMR weergegeven.

## Rapporten

### Apparaatrapport

Mogelijk wordt er één PDF met één of meerdere apparaatrapporten aan het bericht toegevoegd, afhankelijk van de configuratie in de LATITUDE Link-applicatie.

# Voorbeeld van IDCO-bestanden

De volgende IDCO-voorbeeldbestanden laten zien hoe een Boston Scientific IDCO-bericht eruit kan zien. Dit zijn slechts twee voorbeelden van de vele mogelijke resultaten. De gegevens in de voorbeeldberichten zijn hypothetisch en niet alle IDCO-termen worden weergegeven.

## Voorbeeldbericht 1 - S-ICD-apparaat

```
MSH|^~\&|LATITUDE Link|BOSTON SCIENTIFIC||Clinic
Name|201407151441+0000||ORU^R01^ORU_R01|26000320140715144112|P|2.6|||||UNICODE UTF-
8|nl^Dutch||IHE_PCD_009^IHE_PCD^1.3.6.1.4.1.19376.1.6.1.9.1^ISO
PID|1||model:1010/serial:474^^^BSX^U||Smith^John||U
PV1|1|R
OBR|1||G21234|754050^MDC_IDC_ENUM_SESS_TYPE_InClinic^MDC|||201311260000-
0600|||||||||||||F
NTE|1||Detectie-configuratie: Alternate\br\Gain-instelling: 1X\br\Post-shock
stimulatie: AAN
NTE|2||Apparaatvereistonmiddellijkattentie.\br\\\br\Bel Boston Scientific -
BD.\br\\\br\Amerika: 1.800.CARDIAC (227.3422) of +1.651.582.4000\br\Europa, Midden-
Oosten, Afrika: +32 2 416 7222\br\Aziatisch-Pacifischgebied: +61 2 8063 8299
OBX|1|DTM|721025^MDC_IDC_SESS_DTM^MDC||201311260000-0600|||||F
OBX|2|CWE|721026^MDC_IDC_SESS_TYPE^MDC||754050^MDC_IDC_ENUM_SESS_TYPE_InClinic^MDC|||
||F
OBX|3|ST|721031^MDC_IDC_SESS_CLINICIAN_NAME^MDC||Dr. No|||||F
OBX|4|ST|721032^MDC_IDC_SESS_CLINICIAN_CONTACT_INFORMATION^MDC||1-800-CARDIAC|||||F
OBX|5|DTM|721216^MDC_IDC_MSMT_BATTERY_DTM^MDC||201311260000-0600|||||F
OBX|6|CWE|721280^MDC_IDC_MSMT_BATTERY_STATUS^MDC||754113^MDC_IDC_ENUM_BATTERY_STATUS_B
OS^MDC|||||F
OBX|7|NM|721536^MDC_IDC_MSMT_BATTERY_REMAINING_PERCENTAGE^MDC||48%|||||F
OBX|8|ST|739536^MDC_IDC_EPISODE_ID^MDC|1|0|||||F
OBX|9|DTM|739552^MDC_IDC_EPISODE_DTM^MDC|1|20131026082822|||||F
OBX|10|CWE|739568^MDC_IDC_EPISODE_TYPE^MDC|1|754888^MDC_IDC_ENUM_EPISODE_TYPE_Epis_Oth
er^MDC|||||F
OBX|11|CWE|739600^MDC_IDC_EPISODE_VENDOR_TYPE^MDC|1|||||F
OBX|12|CWE|739584^MDC_IDC_EPISODE_TYPE_INDUCED^MDC|1|755330^MDC_IDC_ENUM_EPISODE_TYPE_
INDUCED_NO^MDC|||||F
OBX|13|NM|739712^MDC_IDC_EPISODE_DURATION^MDC|1|168430090|s|||||F
OBX|14|ST|739680^MDC_IDC_EPISODE_DETECTION_THERAPY_DETAILS^MDC|1|NIET-BEHANDELDE
EPISODE|||||F
OBX|15|ST|739536^MDC_IDC_EPISODE_ID^MDC|2|1|||||F
OBX|16|DTM|739552^MDC_IDC_EPISODE_DTM^MDC|2|20131026082822|||||F
OBX|17|CWE|739568^MDC_IDC_EPISODE_TYPE^MDC|2|754881^MDC_IDC_ENUM_EPISODE_TYPE_Epis_VF^
MDC|||||F
OBX|18|CWE|739600^MDC_IDC_EPISODE_VENDOR_TYPE^MDC|2|771073^MDC_IDC_ENUM_EPISODE_VENDOR
_TYPE_BSX-Epis_VF^MDC|||||F
OBX|19|CWE|739584^MDC_IDC_EPISODE_TYPE_INDUCED^MDC|2|755330^MDC_IDC_ENUM_EPISODE_TYPE_
INDUCED_NO^MDC|||||F
OBX|20|NM|739712^MDC_IDC_EPISODE_DURATION^MDC|2|168430090|s|||||F
OBX|21|ST|739680^MDC_IDC_EPISODE_DETECTION_THERAPY_DETAILS^MDC|2|BEHANDELDE EPISODE:
SCHOKIMPEDANTIE= Buitenbereik LAATSTE SCHOKPOLARITEIT= STD|||||F
OBX|22|ST|739536^MDC_IDC_EPISODE_ID^MDC|3|2|||||F
OBX|23|DTM|739552^MDC_IDC_EPISODE_DTM^MDC|3|20131026082822|||||F
OBX|24|CWE|739568^MDC_IDC_EPISODE_TYPE^MDC|3|754881^MDC_IDC_ENUM_EPISODE_TYPE_Epis_VF^
MDC|||||F
OBX|25|CWE|739600^MDC_IDC_EPISODE_VENDOR_TYPE^MDC|3|771073^MDC_IDC_ENUM_EPISODE_VENDOR
_TYPE_BSX-Epis_VF^MDC|||||F
OBX|26|CWE|739584^MDC_IDC_EPISODE_TYPE_INDUCED^MDC|3|755330^MDC_IDC_ENUM_EPISODE_TYPE_
INDUCED_NO^MDC|||||F
OBX|27|NM|739712^MDC_IDC_EPISODE_DURATION^MDC|3|168430090|s|||||F
```



OBX|28|ST|739680^MDC\_IDC\_EPISODE\_DETECTION\_THERAPY\_DETAILS^MDC|3|BEHANDELDE EPISODE:  
SCHOKIMPEDANTIE= 138 Ohm LAATSTE SCHOKPOLARITEIT= REV|||||F  
OBX|29|ST|739536^MDC\_IDC\_EPISODE\_ID^MDC|4|3|||||F  
OBX|30|DTM|739552^MDC\_IDC\_EPISODE\_DTM^MDC|4|20131026082822|||||F  
OBX|31|CWE|739568^MDC\_IDC\_EPISODE\_TYPE^MDC|4|754888^MDC\_IDC\_ENUM\_EPISODE\_TYPE\_Epis\_Oth  
er^MDC|||||F  
OBX|32|CWE|739600^MDC\_IDC\_EPISODE\_VENDOR\_TYPE^MDC|4|||||F  
OBX|33|CWE|739584^MDC\_IDC\_EPISODE\_TYPE\_INDUCED^MDC|4|755330^MDC\_IDC\_ENUM\_EPISODE\_TYPE\_  
INDUCED\_NO^MDC|||||F  
OBX|34|NM|739712^MDC\_IDC\_EPISODE\_DURATION^MDC|4|168430090|s|||||F  
OBX|35|ST|739680^MDC\_IDC\_EPISODE\_DETECTION\_THERAPY\_DETAILS^MDC|4|NIET-BEHANDELDE  
EPISODE|||||F  
OBX|36|ST|739536^MDC\_IDC\_EPISODE\_ID^MDC|5|4|||||F  
OBX|37|DTM|739552^MDC\_IDC\_EPISODE\_DTM^MDC|5|20131026082822|||||F  
OBX|38|CWE|739568^MDC\_IDC\_EPISODE\_TYPE^MDC|5|754888^MDC\_IDC\_ENUM\_EPISODE\_TYPE\_Epis\_Oth  
er^MDC|||||F  
OBX|39|CWE|739600^MDC\_IDC\_EPISODE\_VENDOR\_TYPE^MDC|5|||||F  
OBX|40|CWE|739584^MDC\_IDC\_EPISODE\_TYPE\_INDUCED^MDC|5|755330^MDC\_IDC\_ENUM\_EPISODE\_TYPE\_  
INDUCED\_NO^MDC|||||F  
OBX|41|NM|739712^MDC\_IDC\_EPISODE\_DURATION^MDC|5|168430090|s|||||F  
OBX|42|ST|739680^MDC\_IDC\_EPISODE\_DETECTION\_THERAPY\_DETAILS^MDC|5|NIET-BEHANDELDE  
EPISODE|||||F  
OBX|43|ST|739536^MDC\_IDC\_EPISODE\_ID^MDC|6|5|||||F  
OBX|44|DTM|739552^MDC\_IDC\_EPISODE\_DTM^MDC|6|20131026082822|||||F  
OBX|45|CWE|739568^MDC\_IDC\_EPISODE\_TYPE^MDC|6|754888^MDC\_IDC\_ENUM\_EPISODE\_TYPE\_Epis\_Oth  
er^MDC|||||F  
OBX|46|CWE|739600^MDC\_IDC\_EPISODE\_VENDOR\_TYPE^MDC|6|||||F  
OBX|47|CWE|739584^MDC\_IDC\_EPISODE\_TYPE\_INDUCED^MDC|6|755330^MDC\_IDC\_ENUM\_EPISODE\_TYPE\_  
INDUCED\_NO^MDC|||||F  
OBX|48|NM|739712^MDC\_IDC\_EPISODE\_DURATION^MDC|6|168430090|s|||||F  
OBX|49|ST|739680^MDC\_IDC\_EPISODE\_DETECTION\_THERAPY\_DETAILS^MDC|6|NIET-BEHANDELDE  
EPISODE|||||F  
OBX|50|ST|739536^MDC\_IDC\_EPISODE\_ID^MDC|7|6|||||F  
OBX|51|DTM|739552^MDC\_IDC\_EPISODE\_DTM^MDC|7|20131026082822|||||F  
OBX|52|CWE|739568^MDC\_IDC\_EPISODE\_TYPE^MDC|7|754888^MDC\_IDC\_ENUM\_EPISODE\_TYPE\_Epis\_Oth  
er^MDC|||||F  
OBX|53|CWE|739600^MDC\_IDC\_EPISODE\_VENDOR\_TYPE^MDC|7|||||F  
OBX|54|CWE|739584^MDC\_IDC\_EPISODE\_TYPE\_INDUCED^MDC|7|755330^MDC\_IDC\_ENUM\_EPISODE\_TYPE\_  
INDUCED\_NO^MDC|||||F  
OBX|55|NM|739712^MDC\_IDC\_EPISODE\_DURATION^MDC|7|168430090|s|||||F  
OBX|56|ST|739680^MDC\_IDC\_EPISODE\_DETECTION\_THERAPY\_DETAILS^MDC|7|NIET-BEHANDELDE  
EPISODE|||||F  
OBX|57|ST|739536^MDC\_IDC\_EPISODE\_ID^MDC|8|7|||||F  
OBX|58|DTM|739552^MDC\_IDC\_EPISODE\_DTM^MDC|8|20131026082822|||||F  
OBX|59|CWE|739568^MDC\_IDC\_EPISODE\_TYPE^MDC|8|754888^MDC\_IDC\_ENUM\_EPISODE\_TYPE\_Epis\_Oth  
er^MDC|||||F  
OBX|60|CWE|739600^MDC\_IDC\_EPISODE\_VENDOR\_TYPE^MDC|8|||||F  
OBX|61|CWE|739584^MDC\_IDC\_EPISODE\_TYPE\_INDUCED^MDC|8|755330^MDC\_IDC\_ENUM\_EPISODE\_TYPE\_  
INDUCED\_NO^MDC|||||F  
OBX|62|NM|739712^MDC\_IDC\_EPISODE\_DURATION^MDC|8|168430090|s|||||F  
OBX|63|ST|739680^MDC\_IDC\_EPISODE\_DETECTION\_THERAPY\_DETAILS^MDC|8|NIET-BEHANDELDE  
EPISODE|||||F  
OBX|64|ST|739536^MDC\_IDC\_EPISODE\_ID^MDC|9|8|||||F  
OBX|65|DTM|739552^MDC\_IDC\_EPISODE\_DTM^MDC|9|20131026082822|||||F  
OBX|66|CWE|739568^MDC\_IDC\_EPISODE\_TYPE^MDC|9|754888^MDC\_IDC\_ENUM\_EPISODE\_TYPE\_Epis\_Oth  
er^MDC|||||F  
OBX|67|CWE|739600^MDC\_IDC\_EPISODE\_VENDOR\_TYPE^MDC|9|||||F  
OBX|68|CWE|739584^MDC\_IDC\_EPISODE\_TYPE\_INDUCED^MDC|9|755330^MDC\_IDC\_ENUM\_EPISODE\_TYPE\_  
INDUCED\_NO^MDC|||||F  
OBX|69|NM|739712^MDC\_IDC\_EPISODE\_DURATION^MDC|9|168430090|s|||||F  
OBX|70|ST|739680^MDC\_IDC\_EPISODE\_DETECTION\_THERAPY\_DETAILS^MDC|9|NIET-BEHANDELDE  
EPISODE|||||F

OBX|71|CWE|737952^MDC\_IDC\_STAT\_EPISODE\_TYPE^MDC|1|754888^MDC\_IDC\_ENUM\_EPISODE\_TYPE\_Epi  
 s\_Other^MDC|||||F  
 OBX|72|CWE|737984^MDC\_IDC\_STAT\_EPISODE\_VENDOR\_TYPE^MDC|1|||||F  
 OBX|73|NM|738000^MDC\_IDC\_STAT\_EPISODE\_RECENT\_COUNT^MDC|1|2|||||F  
 OBX|74|DTM|738017^MDC\_IDC\_STAT\_EPISODE\_RECENT\_COUNT\_DTM\_START^MDC|1|20131125|||||F  
 OBX|75|DTM|738018^MDC\_IDC\_STAT\_EPISODE\_RECENT\_COUNT\_DTM\_END^MDC|1|20131126|||||F  
 OBX|76|NM|738032^MDC\_IDC\_STAT\_EPISODE\_TOTAL\_COUNT^MDC|1|8|||||F  
 OBX|77|DTM|738049^MDC\_IDC\_STAT\_EPISODE\_TOTAL\_COUNT\_DTM\_START^MDC|1|20131119|||||F  
 OBX|78|DTM|738050^MDC\_IDC\_STAT\_EPISODE\_TOTAL\_COUNT\_DTM\_END^MDC|1|20131126|||||F  
 OBX|79|CWE|737952^MDC\_IDC\_STAT\_EPISODE\_TYPE^MDC|2|754881^MDC\_IDC\_ENUM\_EPISODE\_TYPE\_Epi  
 s\_VF^MDC|||||F  
 OBX|80|CWE|737984^MDC\_IDC\_STAT\_EPISODE\_VENDOR\_TYPE^MDC|2|771073^MDC\_IDC\_ENUM\_EPISODE\_V  
 ENDOR\_TYPE\_BSX-Epis\_VF^MDC|||||F  
 OBX|81|NM|738000^MDC\_IDC\_STAT\_EPISODE\_RECENT\_COUNT^MDC|2|1|||||F  
 OBX|82|DTM|738017^MDC\_IDC\_STAT\_EPISODE\_RECENT\_COUNT\_DTM\_START^MDC|2|20131125|||||F  
 OBX|83|DTM|738018^MDC\_IDC\_STAT\_EPISODE\_RECENT\_COUNT\_DTM\_END^MDC|2|20131126|||||F  
 OBX|84|NM|738032^MDC\_IDC\_STAT\_EPISODE\_TOTAL\_COUNT^MDC|2|5|||||F  
 OBX|85|DTM|738049^MDC\_IDC\_STAT\_EPISODE\_TOTAL\_COUNT\_DTM\_START^MDC|2|20131119|||||F  
 OBX|86|DTM|738050^MDC\_IDC\_STAT\_EPISODE\_TOTAL\_COUNT\_DTM\_END^MDC|2|20131126|||||F  
 OBX|87|CWE|731520^MDC\_IDC\_SET\_TACHYTHERAPY\_VSTAT^MDC||754817^MDC\_IDC\_ENUM\_THERAPY\_STAT  
 US\_On^MDC|||||F  
 OBX|88|CWE|731648^MDC\_IDC\_SET\_ZONE\_TYPE^MDC|1|754945^MDC\_IDC\_ENUM\_ZONE\_TYPE\_Zone\_VF^MD  
 C|||||F  
 OBX|89|CWE|731712^MDC\_IDC\_SET\_ZONE\_VENDOR\_TYPE^MDC|1|771139^MDC\_IDC\_ENUM\_ZONE\_VENDOR\_T  
 YPE\_BSX-Zone\_VF^MDC|||||F  
 OBX|90|CWE|731776^MDC\_IDC\_SET\_ZONE\_STATUS^MDC|1|755009^MDC\_IDC\_ENUM\_ZONE\_STATUS\_Active  
 ^MDC|||||F  
 OBX|91|NM|731840^MDC\_IDC\_SET\_ZONE\_DETECTION\_INTERVAL^MDC|1|250|ms|||||F  
 OBX|92|NM|732225^MDC\_IDC\_SET\_ZONE\_SHOCK\_ENERGY\_1^MDC|1|80|J|||||F  
 OBX|93|CWE|731648^MDC\_IDC\_SET\_ZONE\_TYPE^MDC|2|754946^MDC\_IDC\_ENUM\_ZONE\_TYPE\_Zone\_VT^MD  
 C|||||F  
 OBX|94|CWE|731712^MDC\_IDC\_SET\_ZONE\_VENDOR\_TYPE^MDC|2|771137^MDC\_IDC\_ENUM\_ZONE\_VENDOR\_T  
 YPE\_BSX-Zone\_VT^MDC|||||F  
 OBX|95|CWE|731776^MDC\_IDC\_SET\_ZONE\_STATUS^MDC|2|755009^MDC\_IDC\_ENUM\_ZONE\_STATUS\_Active  
 ^MDC|||||F  
 OBX|96|ST|732032^MDC\_IDC\_SET\_ZONE\_DETECTION\_DETAILS^MDC|2|SMART Charge is verlengd met:  
 0.27 seconden|||||F  
 OBX|97|NM|731840^MDC\_IDC\_SET\_ZONE\_DETECTION\_INTERVAL^MDC|2|260|ms|||||F  
 OBX|98|NM|732225^MDC\_IDC\_SET\_ZONE\_SHOCK\_ENERGY\_1^MDC|2|80|J|||||F  
 OBX|99|CWE|720897^MDC\_IDC\_DEV\_TYPE^MDC||753666^MDC\_IDC\_ENUM\_DEV\_TYPE\_ICD^MDC|||||F  
 OBX|100|ST|720898^MDC\_IDC\_DEV\_MODEL^MDC||1010|||||F  
 OBX|101|ST|720899^MDC\_IDC\_DEV\_SERIAL^MDC||474|||||F  
 OBX|102|CWE|720900^MDC\_IDC\_DEV\_MFG^MDC||753732^MDC\_IDC\_ENUM\_MFG\_BSX^MDC|||||F  
 OBX|103|DTM|720901^MDC\_IDC\_DEV\_IMPLANT\_DT^MDC||20131119|||||F  
 OBX|104|ST|720961^MDC\_IDC\_LEAD\_MODEL^MDC|1|3030|||||F  
 OBX|105|ST|720962^MDC\_IDC\_LEAD\_SERIAL^MDC|1|g032353|||||F  
 OBX|106|CWE|720963^MDC\_IDC\_LEAD\_MFG^MDC|1|753732^MDC\_IDC\_ENUM\_MFG\_BSX^MDC|||||F  
 OBX|107|CWE|720966^MDC\_IDC\_LEAD\_LOCATION^MDC|1|753861^MDC\_IDC\_ENUM\_LEAD\_LOCATION\_CHAMB  
 ER\_OTHER^MDC|||||F  
 OBX|108|CWE|720967^MDC\_IDC\_LEAD\_LOCATION\_DETAIL\_1^MDC|1|753944^MDC\_IDC\_ENUM\_LEAD\_LOCAT  
 ION\_DETAIL\_Subcutaneous^MDC|||||F  
 OBX|109|NM|737824^MDC\_IDC\_STAT\_TACHYTHERAPY\_SHOCKS\_DELIVERED\_RECENT^MDC||2|||||F  
 OBX|110|DTM|737937^MDC\_IDC\_STAT\_TACHYTHERAPY\_RECENT\_DTM\_START^MDC||20131125|||||F  
 OBX|111|DTM|737938^MDC\_IDC\_STAT\_TACHYTHERAPY\_RECENT\_DTM\_END^MDC||20131126|||||F  
 OBX|112|NM|737840^MDC\_IDC\_STAT\_TACHYTHERAPY\_SHOCKS\_DELIVERED\_TOTAL^MDC||9|||||F  
 OBX|113|DTM|737921^MDC\_IDC\_STAT\_TACHYTHERAPY\_TOTAL\_DTM\_START^MDC||20131119|||||F  
 OBX|114|DTM|737922^MDC\_IDC\_STAT\_TACHYTHERAPY\_TOTAL\_DTM\_END^MDC||20131126|||||F  
 OBX|115|ED|18750-0^Cardiac Electrophysiology  
 Report^LN||Application^PDF^^Base64^{gecodeerd PDF-bestand  
 bijgevoegd}|||||F|||201311260000-0600

## Voorbeeldbericht 2 - Overige apparaten (niet S-ICD)



```
MSH|^~\&|LATITUDE Link|BOSTON SCIENTIFIC||The  
Clinic|201410091423+0000||ORU^R01^ORU_R01|55963301412864594798|P|2.6|||||UNICODE UTF-  
8|nl^Dutch||IHE_PCD_009^IHE_PCD^1.3.6.1.4.1.19376.1.6.1.9.1^ISO  
PID|1||model:N118/serial:559633^^^BSX^U||TEST^SAMPLE||19530514|U  
PV1||R  
OBR|1||63|754050^MDC_IDC_ENUM_SESS_TYPE_InClinic^MDC|||201410081240|||||||||||||F  
NTE|1||okt 08, 2014 12:40 - Ventriculairtachymode is op  
eenanderewaardeingestelddanMonitor+Therapie  
OBX|1|DTM|721025^MDC_IDC_SESS_DTM^MDC||201410081240|||||F  
OBX|2|CWE|721026^MDC_IDC_SESS_TYPE^MDC||754050^MDC_IDC_ENUM_SESS_TYPE_InClinic^MDC|||  
||F  
OBX|3|ST|721033^MDC_IDC_SESS_CLINIC_NAME^MDC||The Clinic|||||F  
OBX|4|DTM|721216^MDC_IDC_MSMT_BATTERY_DTM^MDC||201410081240|||||F  
OBX|5|CWE|721280^MDC_IDC_MSMT_BATTERY_STATUS^MDC||754113^MDC_IDC_ENUM_BATTERY_STATUS_B  
OS^MDC|||||F  
OBX|6|NM|721472^MDC_IDC_MSMT_BATTERY_REMAINING_LONGEVITY^MDC||54|mo|||||F  
OBX|7|NM|721536^MDC_IDC_MSMT_BATTERY_REMAINING_PERCENTAGE^MDC||81|%|||||F  
OBX|8|DTM|721664^MDC_IDC_MSMT_CAP_CHARGE_DTM^MDC|1|201409291735|||||F  
OBX|9|NM|721728^MDC_IDC_MSMT_CAP_CHARGE_TIME^MDC|1|9.5|s|||||F  
OBX|10|CWE|721856^MDC_IDC_MSMT_CAP_CHARGE_TYPE^MDC|1|754178^MDC_IDC_ENUM_CHARGE_TYPE_R  
eformation^MDC|||||F  
OBX|11|DTM|721664^MDC_IDC_MSMT_CAP_CHARGE_DTM^MDC|2|201409171216|||||F  
OBX|12|NM|721728^MDC_IDC_MSMT_CAP_CHARGE_TIME^MDC|2|0.4|s|||||F  
OBX|13|NM|721792^MDC_IDC_MSMT_CAP_CHARGE_ENERGY^MDC|2|2|J|||||F  
OBX|14|CWE|721856^MDC_IDC_MSMT_CAP_CHARGE_TYPE^MDC|2|754177^MDC_IDC_ENUM_CHARGE_TYPE_S  
hock^MDC|||||F  
OBX|15|CWE|737952^MDC_IDC_STAT_EPISODE_TYPE^MDC|1|754881^MDC_IDC_ENUM_EPISODE_TYPE_Epi  
s_VF^MDC|||||F  
OBX|16|CWE|737984^MDC_IDC_STAT_EPISODE_VENDOR_TYPE^MDC|1|771073^MDC_IDC_ENUM_EPISODE_V  
ENDOR_TYPE_BSX-Epis_VF^MDC|||||F  
OBX|17|NM|738000^MDC_IDC_STAT_EPISODE_RECENT_COUNT^MDC|1|2|||||F  
OBX|18|DTM|738017^MDC_IDC_STAT_EPISODE_RECENT_COUNT_DTM_START^MDC|1|20140603|||||F  
OBX|19|DTM|738018^MDC_IDC_STAT_EPISODE_RECENT_COUNT_DTM_END^MDC|1|20141008|||||F  
OBX|20|CWE|737952^MDC_IDC_STAT_EPISODE_TYPE^MDC|2|754882^MDC_IDC_ENUM_EPISODE_TYPE_Epi  
s_VT^MDC|||||F  
OBX|21|CWE|737984^MDC_IDC_STAT_EPISODE_VENDOR_TYPE^MDC|2|771074^MDC_IDC_ENUM_EPISODE_V  
ENDOR_TYPE_BSX-Epis_VT^MDC|||||F  
OBX|22|NM|738000^MDC_IDC_STAT_EPISODE_RECENT_COUNT^MDC|2|0|||||F  
OBX|23|DTM|738017^MDC_IDC_STAT_EPISODE_RECENT_COUNT_DTM_START^MDC|2|20140603|||||F  
OBX|24|DTM|738018^MDC_IDC_STAT_EPISODE_RECENT_COUNT_DTM_END^MDC|2|20141008|||||F  
OBX|25|CWE|737952^MDC_IDC_STAT_EPISODE_TYPE^MDC|3|754882^MDC_IDC_ENUM_EPISODE_TYPE_Epi  
s_VT^MDC|||||F  
OBX|26|CWE|737984^MDC_IDC_STAT_EPISODE_VENDOR_TYPE^MDC|3|771075^MDC_IDC_ENUM_EPISODE_V  
ENDOR_TYPE_BSX-Epis_VT-1^MDC|||||F  
OBX|27|NM|738000^MDC_IDC_STAT_EPISODE_RECENT_COUNT^MDC|3|3|||||F  
OBX|28|DTM|738017^MDC_IDC_STAT_EPISODE_RECENT_COUNT_DTM_START^MDC|3|20140603|||||F  
OBX|29|DTM|738018^MDC_IDC_STAT_EPISODE_RECENT_COUNT_DTM_END^MDC|3|20141008|||||F  
OBX|30|CWE|737952^MDC_IDC_STAT_EPISODE_TYPE^MDC|4|754885^MDC_IDC_ENUM_EPISODE_TYPE_Epi  
s_Monitor^MDC|||||F  
OBX|31|CWE|737984^MDC_IDC_STAT_EPISODE_VENDOR_TYPE^MDC|4|||||F  
OBX|32|NM|738000^MDC_IDC_STAT_EPISODE_RECENT_COUNT^MDC|4|0|||||F  
OBX|33|DTM|738017^MDC_IDC_STAT_EPISODE_RECENT_COUNT_DTM_START^MDC|4|20140603|||||F  
OBX|34|DTM|738018^MDC_IDC_STAT_EPISODE_RECENT_COUNT_DTM_END^MDC|4|20141008|||||F  
OBX|35|CWE|737952^MDC_IDC_STAT_EPISODE_TYPE^MDC|5|754888^MDC_IDC_ENUM_EPISODE_TYPE_Epi  
s_Other^MDC|||||F  
OBX|36|CWE|737984^MDC_IDC_STAT_EPISODE_VENDOR_TYPE^MDC|5|||||F  
OBX|37|NM|738000^MDC_IDC_STAT_EPISODE_RECENT_COUNT^MDC|5|0|||||F  
OBX|38|DTM|738017^MDC_IDC_STAT_EPISODE_RECENT_COUNT_DTM_START^MDC|5|20140603|||||F  
OBX|39|DTM|738018^MDC_IDC_STAT_EPISODE_RECENT_COUNT_DTM_END^MDC|5|20141008|||||F  
OBX|40|CWE|737952^MDC_IDC_STAT_EPISODE_TYPE^MDC|6|754882^MDC_IDC_ENUM_EPISODE_TYPE_Epi
```

s\_VT^MDC|||||F  
OBX|41|CWE|737984^MDC\_IDC\_STAT\_EPISODE\_VENDOR\_TYPE^MDC|6|771077^MDC\_IDC\_ENUM\_EPISODE\_V  
ENDOR\_TYPE\_BSX-Epis\_NSVT^MDC|||||F  
OBX|42|NM|738000^MDC\_IDC\_STAT\_EPISODE\_RECENT\_COUNT^MDC|6|0|||||F  
OBX|43|DTM|738017^MDC\_IDC\_STAT\_EPISODE\_RECENT\_COUNT\_DTM\_START^MDC|6|20140603|||||F  
OBX|44|DTM|738018^MDC\_IDC\_STAT\_EPISODE\_RECENT\_COUNT\_DTM\_END^MDC|6|20141008|||||F  
OBX|45|CWE|737952^MDC\_IDC\_STAT\_EPISODE\_TYPE^MDC|7|754883^MDC\_IDC\_ENUM\_EPISODE\_TYPE\_Epi  
s\_ATAF^MDC|||||F  
OBX|46|CWE|737984^MDC\_IDC\_STAT\_EPISODE\_VENDOR\_TYPE^MDC|7|771078^MDC\_IDC\_ENUM\_EPISODE\_V  
ENDOR\_TYPE\_BSX-Epis\_ATR^MDC|||||F  
OBX|47|NM|738000^MDC\_IDC\_STAT\_EPISODE\_RECENT\_COUNT^MDC|7|3|||||F  
OBX|48|DTM|738017^MDC\_IDC\_STAT\_EPISODE\_RECENT\_COUNT\_DTM\_START^MDC|7|20140603|||||F  
OBX|49|DTM|738018^MDC\_IDC\_STAT\_EPISODE\_RECENT\_COUNT\_DTM\_END^MDC|7|20141008|||||F  
OBX|50|ED|18750-0^Cardiac Electrophysiology  
Report^LN||Application^PDF^^Base64^{gecodeerd PDF-bestand  
bijgevoegd}|||||F|||201410081240  
OBX|51|CWE|731392^MDC\_IDC\_SET\_BRADY\_AT\_MODE\_SWITCH\_MODE^MDC||754778^MDC\_IDC\_ENUM\_BRADY  
\_MODE\_VDI^MDC|||||F  
OBX|52|NM|731456^MDC\_IDC\_SET\_BRADY\_AT\_MODE\_SWITCH\_RATE^MDC||170|{beats}/min|||||F  
OBX|53|NM|729344^MDC\_IDC\_SET\_CRT\_LVRV\_DELAY^MDC||10|ms|||||F  
OBX|54|CWE|729408^MDC\_IDC\_SET\_CRT\_PACED\_CHAMBERS^MDC||755267^MDC\_IDC\_ENUM\_CRT\_PACED\_CH  
AMBERS\_Biv^MDC|||||F  
OBX|55|CWE|730752^MDC\_IDC\_SET\_BRADY\_MODE^MDC||754760^MDC\_IDC\_ENUM\_BRADY\_MODE\_DDD^MDC||  
|||||F  
OBX|56|NM|730880^MDC\_IDC\_SET\_BRADY\_LOWRATE^MDC||65|{beats}/min|||||F  
OBX|57|NM|731136^MDC\_IDC\_SET\_BRADY\_MAX\_TRACKING\_RATE^MDC||115|{beats}/min|||||F  
OBX|58|NM|731265^MDC\_IDC\_SET\_BRADY\_SAV\_DELAY\_HIGH^MDC||80|ms|||||F  
OBX|59|NM|731329^MDC\_IDC\_SET\_BRADY\_PAV\_DELAY\_HIGH^MDC||130|ms|||||F  
OBX|60|CWE|731520^MDC\_IDC\_SET\_TACHYTHERAPY\_VSTAT^MDC||754818^MDC\_IDC\_ENUM\_THERAPY\_STAT  
US\_Off^MDC|||||F  
OBX|61|CWE|731648^MDC\_IDC\_SET\_ZONE\_TYPE^MDC|1|754945^MDC\_IDC\_ENUM\_ZONE\_TYPE\_Zone\_VF^MD  
C|||||F  
OBX|62|CWE|731712^MDC\_IDC\_SET\_ZONE\_VENDOR\_TYPE^MDC|1|771139^MDC\_IDC\_ENUM\_ZONE\_VENDOR\_T  
YPE\_BSX-Zone\_VF^MDC|||||F  
OBX|63|CWE|731776^MDC\_IDC\_SET\_ZONE\_STATUS^MDC|1|755011^MDC\_IDC\_ENUM\_ZONE\_STATUS\_Monito  
r^MDC|||||F  
OBX|64|NM|731840^MDC\_IDC\_SET\_ZONE\_DETECTION\_INTERVAL^MDC|1|300|ms|||||F  
OBX|65|CWE|731648^MDC\_IDC\_SET\_ZONE\_TYPE^MDC|2|754946^MDC\_IDC\_ENUM\_ZONE\_TYPE\_Zone\_VT^MD  
C|||||F  
OBX|66|CWE|731712^MDC\_IDC\_SET\_ZONE\_VENDOR\_TYPE^MDC|2|771137^MDC\_IDC\_ENUM\_ZONE\_VENDOR\_T  
YPE\_BSX-Zone\_VT^MDC|||||F  
OBX|67|CWE|731776^MDC\_IDC\_SET\_ZONE\_STATUS^MDC|2|755011^MDC\_IDC\_ENUM\_ZONE\_STATUS\_Monito  
r^MDC|||||F  
OBX|68|NM|731840^MDC\_IDC\_SET\_ZONE\_DETECTION\_INTERVAL^MDC|2|375|ms|||||F  
OBX|69|CWE|731648^MDC\_IDC\_SET\_ZONE\_TYPE^MDC|3|754946^MDC\_IDC\_ENUM\_ZONE\_TYPE\_Zone\_VT^MD  
C|||||F  
OBX|70|CWE|731712^MDC\_IDC\_SET\_ZONE\_VENDOR\_TYPE^MDC|3|771138^MDC\_IDC\_ENUM\_ZONE\_VENDOR\_T  
YPE\_BSX-Zone\_VT-1^MDC|||||F  
OBX|71|CWE|731776^MDC\_IDC\_SET\_ZONE\_STATUS^MDC|3|755011^MDC\_IDC\_ENUM\_ZONE\_STATUS\_Monito  
r^MDC|||||F  
OBX|72|NM|731840^MDC\_IDC\_SET\_ZONE\_DETECTION\_INTERVAL^MDC|3|429|ms|||||F  
OBX|73|NM|729536^MDC\_IDC\_SET\_LEADCHNL\_RA\_SENSING\_SENSITIVITY^MDC||0.25|mV|||||F  
OBX|74|CWE|729920^MDC\_IDC\_SET\_LEADCHNL\_RA\_SENSING\_ADAPTATION\_MODE^MDC||754625^MDC\_IDC\_  
ENUM\_SENSING\_ADAPTATION\_MODE\_AdaptiveSensing^MDC|||||F  
OBX|75|CWE|729600^MDC\_IDC\_SET\_LEADCHNL\_RA\_SENSING\_POLARITY^MDC||754306^MDC\_IDC\_ENUM\_PO  
LARITY\_BI^MDC|||||F  
OBX|76|NM|729537^MDC\_IDC\_SET\_LEADCHNL\_RV\_SENSING\_SENSITIVITY^MDC||0.6|mV|||||F  
OBX|77|CWE|729921^MDC\_IDC\_SET\_LEADCHNL\_RV\_SENSING\_ADAPTATION\_MODE^MDC||754625^MDC\_IDC\_  
ENUM\_SENSING\_ADAPTATION\_MODE\_AdaptiveSensing^MDC|||||F  
OBX|78|CWE|729601^MDC\_IDC\_SET\_LEADCHNL\_RV\_SENSING\_POLARITY^MDC||754306^MDC\_IDC\_ENUM\_PO  
LARITY\_BI^MDC|||||F  
OBX|79|NM|729539^MDC\_IDC\_SET\_LEADCHNL\_LV\_SENSING\_SENSITIVITY^MDC||1.0|mV|||||F

OBX|80|CWE|729923^MDC\_IDC\_SET\_LEADCHNL\_LV\_SENSING\_ADAPTATION\_MODE^MDC||754625^MDC\_IDC\_ENUM\_SENSING\_ADAPTATION\_MODE\_AdaptiveSensing^MDC|||||F  
OBX|81|CWE|729676^MDC\_IDC\_SET\_LEADCHNL\_LV\_SENSING\_ANODE\_LOCATION^MDC||754498^MDC\_IDC\_ENUM\_ELECTRODE\_LOCATION\_RV^MDC|||||F  
OBX|82|CWE|729804^MDC\_IDC\_SET\_LEADCHNL\_LV\_SENSING\_CATHODE\_LOCATION^MDC||754500^MDC\_IDC\_ENUM\_ELECTRODE\_LOCATION\_LV^MDC|||||F  
OBX|83|CWE|729868^MDC\_IDC\_SET\_LEADCHNL\_LV\_SENSING\_CATHODE\_ELECTRODE^MDC||754561^MDC\_IDC\_ENUM\_ELECTRODE\_NAME\_Tip^MDC|||||F  
OBX|84|NM|729984^MDC\_IDC\_SET\_LEADCHNL\_RA\_PACING\_AMPLITUDE^MDC||2.5|V|||||F  
OBX|85|NM|730048^MDC\_IDC\_SET\_LEADCHNL\_RA\_PACING\_PULSEWIDTH^MDC||0.4|ms|||||F  
OBX|86|CWE|730112^MDC\_IDC\_SET\_LEADCHNL\_RA\_PACING\_POLARITY^MDC||754306^MDC\_IDC\_ENUM\_POLARITY\_BI^MDC|||||F  
OBX|87|NM|729985^MDC\_IDC\_SET\_LEADCHNL\_RV\_PACING\_AMPLITUDE^MDC||2.5|V|||||F  
OBX|88|NM|730049^MDC\_IDC\_SET\_LEADCHNL\_RV\_PACING\_PULSEWIDTH^MDC||0.4|ms|||||F  
OBX|89|CWE|730113^MDC\_IDC\_SET\_LEADCHNL\_RV\_PACING\_POLARITY^MDC||754306^MDC\_IDC\_ENUM\_POLARITY\_BI^MDC|||||F  
OBX|90|NM|729987^MDC\_IDC\_SET\_LEADCHNL\_LV\_PACING\_AMPLITUDE^MDC||2.5|V|||||F  
OBX|91|NM|730051^MDC\_IDC\_SET\_LEADCHNL\_LV\_PACING\_PULSEWIDTH^MDC||0.4|ms|||||F  
OBX|92|CWE|730188^MDC\_IDC\_SET\_LEADCHNL\_LV\_PACING\_ANODE\_LOCATION^MDC||754498^MDC\_IDC\_ENUM\_ELECTRODE\_LOCATION\_RV^MDC|||||F  
OBX|93|CWE|730316^MDC\_IDC\_SET\_LEADCHNL\_LV\_PACING\_CATHODE\_LOCATION^MDC||754500^MDC\_IDC\_ENUM\_ELECTRODE\_LOCATION\_LV^MDC|||||F  
OBX|94|CWE|730380^MDC\_IDC\_SET\_LEADCHNL\_LV\_PACING\_CATHODE\_ELECTRODE^MDC||754561^MDC\_IDC\_ENUM\_ELECTRODE\_NAME\_Tip^MDC|||||F  
OBX|95|CWE|720897^MDC\_IDC\_DEV\_TYPE^MDC||753667^MDC\_IDC\_ENUM\_DEV\_TYPE\_CRT\_D^MDC|||||F  
OBX|96|ST|720898^MDC\_IDC\_DEV\_MODEL^MDC||N118|||||F  
OBX|97|ST|720899^MDC\_IDC\_DEV\_SERIAL^MDC||559633|||||F  
OBX|98|CWE|720900^MDC\_IDC\_DEV\_MFG^MDC||753732^MDC\_IDC\_ENUM\_MFG\_BSX^MDC|||||F  
OBX|99|DTM|720901^MDC\_IDC\_DEV\_IMPLANT\_DT^MDC||20081009|||||F  
OBX|100|DTM|721921^MDC\_IDC\_MSMT\_LEADCHNL\_RA\_DTM\_START^MDC||20141008|||||F  
OBX|101|NM|722051^MDC\_IDC\_MSMT\_LEADCHNL\_RA\_SENSING\_INTR\_AMPL\_MEAN^MDC||3.0|mV|||||F|||20141008  
OBX|102|CWE|722112^MDC\_IDC\_MSMT\_LEADCHNL\_RA\_SENSING\_POLARITY^MDC||754306^MDC\_IDC\_ENUM\_POLARITY\_BI^MDC|||||F  
OBX|103|NM|722176^MDC\_IDC\_MSMT\_LEADCHNL\_RA\_PACING\_THRESHOLD\_AMPLITUDE^MDC||1.3|V|||||F|||20141008  
OBX|104|NM|722240^MDC\_IDC\_MSMT\_LEADCHNL\_RA\_PACING\_THRESHOLD\_PULSEWIDTH^MDC||0.4|ms|||||F|||20141008  
OBX|105|CWE|722304^MDC\_IDC\_MSMT\_LEADCHNL\_RA\_PACING\_THRESHOLD\_MEASUREMENT\_METHOD^MDC||754369^MDC\_IDC\_ENUM\_MEASUREMENT\_METHOD\_ProgrammerManual^MDC|||||F  
OBX|106|CWE|722368^MDC\_IDC\_MSMT\_LEADCHNL\_RA\_PACING\_THRESHOLD\_POLARITY^MDC||754306^MDC\_IDC\_ENUM\_POLARITY\_BI^MDC|||||F  
OBX|107|NM|722432^MDC\_IDC\_MSMT\_LEADCHNL\_RA\_IMPEDANCE\_VALUE^MDC||544|ohms|||||F|||20141008  
OBX|108|CWE|722496^MDC\_IDC\_MSMT\_LEADCHNL\_RA\_IMPEDANCE\_POLARITY^MDC||754306^MDC\_IDC\_ENUM\_POLARITY\_BI^MDC|||||F  
OBX|109|DTM|721925^MDC\_IDC\_MSMT\_LEADCHNL\_RV\_DTM\_START^MDC||20141008|||||F  
OBX|110|NM|722055^MDC\_IDC\_MSMT\_LEADCHNL\_RV\_SENSING\_INTR\_AMPL\_MEAN^MDC||5.6|mV|||||F|||20141008  
OBX|111|CWE|722113^MDC\_IDC\_MSMT\_LEADCHNL\_RV\_SENSING\_POLARITY^MDC||754306^MDC\_IDC\_ENUM\_POLARITY\_BI^MDC|||||F  
OBX|112|NM|722177^MDC\_IDC\_MSMT\_LEADCHNL\_RV\_PACING\_THRESHOLD\_AMPLITUDE^MDC||1.7|V|||||F|||20141008  
OBX|113|NM|722241^MDC\_IDC\_MSMT\_LEADCHNL\_RV\_PACING\_THRESHOLD\_PULSEWIDTH^MDC||0.4|ms|||||F|||20141008  
OBX|114|CWE|722305^MDC\_IDC\_MSMT\_LEADCHNL\_RV\_PACING\_THRESHOLD\_MEASUREMENT\_METHOD^MDC||754369^MDC\_IDC\_ENUM\_MEASUREMENT\_METHOD\_ProgrammerManual^MDC|||||F  
OBX|115|CWE|722369^MDC\_IDC\_MSMT\_LEADCHNL\_RV\_PACING\_THRESHOLD\_POLARITY^MDC||754306^MDC\_IDC\_ENUM\_POLARITY\_BI^MDC|||||F  
OBX|116|NM|722433^MDC\_IDC\_MSMT\_LEADCHNL\_RV\_IMPEDANCE\_VALUE^MDC||494|ohms|||||F|||20141008  
OBX|117|CWE|722497^MDC\_IDC\_MSMT\_LEADCHNL\_RV\_IMPEDANCE\_POLARITY^MDC||754306^MDC\_IDC\_ENUM

M\_POLARITY\_BI^MDC|||||F  
OBX|118|DTM|721933^MDC\_IDC\_MSMT\_LEADCHNL\_LV\_DTM\_START^MDC||20141008|||||F  
OBX|119|NM|722063^MDC\_IDC\_MSMT\_LEADCHNL\_LV\_SENSING\_INTR\_AMPL\_MEAN^MDC||mV||NAV|||F|||  
20141008  
OBX|120|CWE|722115^MDC\_IDC\_MSMT\_LEADCHNL\_LV\_SENSING\_POLARITY^MDC||754305^MDC\_IDC\_ENUM\_  
POLARITY\_UNI^MDC|||||F  
OBX|121|NM|722179^MDC\_IDC\_MSMT\_LEADCHNL\_LV\_PACING\_THRESHOLD\_AMPLITUDE^MDC||1.8|V|||||F  
|||20141008  
OBX|122|NM|722243^MDC\_IDC\_MSMT\_LEADCHNL\_LV\_PACING\_THRESHOLD\_PULSEWIDTH^MDC||0.4|ms||||  
|F|||20141008  
OBX|123|CWE|722307^MDC\_IDC\_MSMT\_LEADCHNL\_LV\_PACING\_THRESHOLD\_MEASUREMENT\_METHOD^MDC||7  
54369^MDC\_IDC\_ENUM\_MEASUREMENT\_METHOD\_ProgrammerManual^MDC|||||F  
OBX|124|CWE|722371^MDC\_IDC\_MSMT\_LEADCHNL\_LV\_PACING\_THRESHOLD\_POLARITY^MDC||754305^MDC\_  
IDC\_ENUM\_POLARITY\_UNI^MDC|||||F  
OBX|125|NM|722435^MDC\_IDC\_MSMT\_LEADCHNL\_LV\_IMPEDANCE\_VALUE^MDC||604|ohms|||||F|||20141  
008  
OBX|126|CWE|722499^MDC\_IDC\_MSMT\_LEADCHNL\_LV\_IMPEDANCE\_POLARITY^MDC||754305^MDC\_IDC\_ENU  
M\_POLARITY\_UNI^MDC|||||F  
OBX|127|DTM|722560^MDC\_IDC\_MSMT\_LEADHVCHNL\_DTM\_START^MDC||1|20141008|||||F  
OBX|128|NM|722624^MDC\_IDC\_MSMT\_LEADHVCHNL\_IMPEDANCE^MDC||1|55|ohms|||||F  
OBX|129|CWE|722688^MDC\_IDC\_MSMT\_LEADHVCHNL\_MEASUREMENT\_TYPE^MDC||1|754433^MDC\_IDC\_ENUM\_  
HVCHNL\_MEASUREMENT\_TYPE\_LowVoltage^MDC|||||F  
OBX|130|DTM|737489^MDC\_IDC\_STAT\_DTM\_START^MDC||20140603|||||F  
OBX|131|DTM|737490^MDC\_IDC\_STAT\_DTM\_END^MDC||20141008|||||F  
OBX|132|DTM|737505^MDC\_IDC\_STAT\_BRADY\_DTM\_START^MDC||20140603|||||F  
OBX|133|DTM|737506^MDC\_IDC\_STAT\_BRADY\_DTM\_END^MDC||20141008|||||F  
OBX|134|NM|737520^MDC\_IDC\_STAT\_BRADY\_RA\_PERCENT\_PACED^MDC||1|%|||F  
OBX|135|NM|737536^MDC\_IDC\_STAT\_BRADY\_RV\_PERCENT\_PACED^MDC||100|%|||||F  
OBX|136|DTM|737777^MDC\_IDC\_STAT\_CRT\_DTM\_START^MDC||20140603|||||F  
OBX|137|DTM|737778^MDC\_IDC\_STAT\_CRT\_DTM\_END^MDC||20141008|||||F  
OBX|138|NM|737792^MDC\_IDC\_STAT\_CRT\_LV\_PERCENT\_PACED^MDC||100|%|||||F  
OBX|139|DTM|737665^MDC\_IDC\_STAT\_AT\_DTM\_START^MDC||20140605|||||F  
OBX|140|DTM|737666^MDC\_IDC\_STAT\_AT\_DTM\_END^MDC||20141008|||||F  
OBX|141|NM|737696^MDC\_IDC\_STAT\_AT\_BURDEN\_PERCENT^MDC||1%||<|||F  
OBX|142|DTM|737937^MDC\_IDC\_STAT\_TACHYTHERAPY\_RECENT\_DTM\_START^MDC||20140603|||||F  
OBX|143|DTM|737938^MDC\_IDC\_STAT\_TACHYTHERAPY\_RECENT\_DTM\_END^MDC||20141008|||||F  
OBX|144|NM|737824^MDC\_IDC\_STAT\_TACHYTHERAPY\_SHOCKS\_DELIVERED\_RECENT^MDC||3|||F  
OBX|145|DTM|737921^MDC\_IDC\_STAT\_TACHYTHERAPY\_TOTAL\_DTM\_START^MDC||20081009|||||F  
OBX|146|DTM|737922^MDC\_IDC\_STAT\_TACHYTHERAPY\_TOTAL\_DTM\_END^MDC||20141008|||||F  
OBX|147|NM|737840^MDC\_IDC\_STAT\_TACHYTHERAPY\_SHOCKS\_DELIVERED\_TOTAL^MDC||53|||F  
OBX|148|NM|737856^MDC\_IDC\_STAT\_TACHYTHERAPY\_SHOCKS\_ABORTED\_RECENT^MDC||1|||F  
OBX|149|NM|737872^MDC\_IDC\_STAT\_TACHYTHERAPY\_SHOCKS\_ABORTED\_TOTAL^MDC||5|||F  
OBX|150|NM|737888^MDC\_IDC\_STAT\_TACHYTHERAPY\_ATP\_DELIVERED\_RECENT^MDC||3|||F  
OBX|151|NM|737904^MDC\_IDC\_STAT\_TACHYTHERAPY\_ATP\_DELIVERED\_TOTAL^MDC||35|||F

## Definities van symbolen die in deze handleiding worden gebruikt

	Fabrikant
	Geautoriseerde vertegenwoordiger in de Europese Gemeenschap

Outdated version. Do not use.  
Version überholt. Nicht verwenden.  
Version obsolète. Ne pas utiliser.  
Versión obsoleta. No utilizar.  
Versione obsoleta. Non utilizzate.  
Verouderde versie. Niet gebruiken.  
Föråldrad version. Använd ej.  
Παλιά έκδοση. Μην την χρησιμοποιείτε.  
Versão obsoleta. Não utilize.  
Förældet version. Må ikke anvendes.  
Zastaralá verze. Nepoužívat.  
Utdatert versjon. Skal ikke brukes.  
Zastaraná verzia. Nepoužívať.  
Elavult verzió. Ne használja!  
Wersja nieaktualna. Nie używać.

Outdated version. Do not use.  
Version überholt. Nicht verwenden.  
Version obsolète. Ne pas utiliser.  
Versión obsoleta. No utilizar.  
Versione obsoleta. Non utilizzare.  
Verouderde versie. Niet gebruiken.  
Föråldrad version. Använd ej.  
Παλιά έκδοση. Μην την χρησιμοποιείτε.  
Versão obsoleta. Não utilize.  
Forældet version. Må ikke anvendes.  
Zastaralá verze. Nepoužívat.  
Utdatert versjon. Skal ikke brukes.  
Zastaraná verzia. Nepoužívať.  
Elavult verzió. Ne használja!  
Wersja nieaktualna. Nie używać.



Outdated version. Do not use.  
Version überholt. Nicht verwenden.  
Version obsolète. Ne pas utiliser.  
Versión obsoleta. No utilizar.  
Versione obsoleta. Non utilizzare.  
Verouderde versie. Niet gebruiken.  
Föråldrad version. Använd ej.  
Παλιά έκδοση. Μην την χρησιμοποιείτε.  
Versão obsoleta. Não utilize.  
Forældet version. Må ikke anvendes.  
Zastaralá verze. Nepoužívat.  
Utdatert versjon. Skal ikke brukes.  
Zastaraná verzia. Nepoužívať.  
Elavult verzió. Ne használja!  
Wersja nieaktualna. Nie używać.

# Boston Scientific



Boston Scientific  
4100 Hamline Avenue North  
St. Paul, MN 55112-5798 USA

1.800.CARDIAC (227.3422)  
+1.651.582.4000

[www.bostonscientific.com](http://www.bostonscientific.com)



Guidant Europe NV/SA  
Boston Scientific  
Green Square,  
Lambroekstraat 5D  
1831 Diegem, Belgium

1.800.CARDIAC (227.3422)  
+1.651.582.4000

[www.bostonscientific.com](http://www.bostonscientific.com)

© 2014 Boston Scientific Corporation or its affiliates.  
All rights reserved.

359384-006 NL 2014-08

